

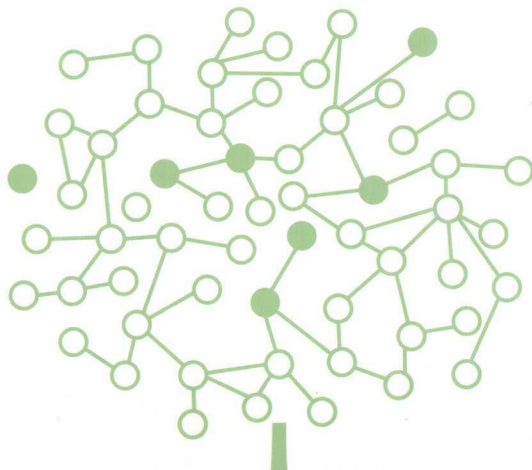
SLIDING MODE CONTROL DESIGN AND MATLAB SIMULATION
(SECOND EDITION)

滑模变结构控制

MATLAB仿真

(第2版)

刘金琨 著
Liu Jinkun



清华大学出版社



电子信息与电气工程技术丛书(E&E)

本书是第二版。在第一版的基础上，根据滑模变结构控制理论和应用的新进展，对全书进行了修订和增补。新增加了有关滑模变结构控制的数学基础、滑模变结构控制设计方法、滑模变结构控制系统的MATLAB仿真等章节。同时，对各章的内容做了适当的调整和补充，使全书更具有系统性、完整性、科学性和实用性。

SLIDING MODE CONTROL DESIGN AND MATLAB SIMULATION
(SECOND EDITION)

滑模变结构控制

MATLAB仿真

(第2版)

刘金琨 著

Liu Jinkun 编著



清华大学出版社

北京

内 容 简 介

本书从 MATLAB 仿真角度系统地介绍了滑模变结构控制的基本理论、基本方法和应用技术，是作者多年来从事控制系统教学和科研工作的结晶，同时融入了国内外同行近年来所取得的最新成果。

全书共 11 章，主要内容包括滑模变结构控制发展综述、连续系统滑模控制、自适应鲁棒滑模控制、欠驱动系统滑模控制、反演及动态面滑模控制、基于滤波器及观测器的滑模控制、离散系统滑模控制、模糊滑模控制、神经滑模控制和机械手滑模控制。每种控制方法都通过 MATLAB 仿真程序进行了仿真分析。

本书各部分内容既有联系又相互独立，读者可根据自己需要选择学习。本书适用于从事生产过程自动化、计算机应用、机械电子和电气自动化领域工作的工程技术人员，也可作为大专院校工业自动化、自动控制、机械电子、自动化仪表、计算机应用等专业的教学参考书。

本书封面贴有清华大学出版社防伪标签，无标签者不得销售。

版权所有，侵权必究。侵权举报电话：010-62782989 13701121933

图书在版编目(CIP)数据

滑模变结构控制 MATLAB 仿真 / 刘金琨著. --2 版. --北京：清华大学出版社，2012. 10
(电子信息与电气工程技术丛书)

ISBN 978-7-302-28624-0

I. ①滑… II. ①刘… III. ①变结构控制—系统仿真—Matlab 软件 IV. ①TP273

中国版本图书馆 CIP 数据核字(2012)第 074650 号

责任编辑：盛东亮

封面设计：李召霞

责任校对：李建庄

责任印制：王静怡

出版发行：清华大学出版社

网 址：<http://www.tup.com.cn>, <http://www.wqbook.com>

地 址：北京清华大学学研大厦 A 座 邮 编：100084

社 总 机：010-62770175 邮 购：010-62786544

投稿与读者服务：010-62776969, c-service@tup.tsinghua.edu.cn

质 量 反 馈：010-62772015, zhiliang@tup.tsinghua.edu.cn

课 件 下 载：<http://www.tup.com.cn>, 010-62795954

印 刷 者：清华大学印刷厂

装 订 者：北京市密云县京文制本装订厂

经 销：全国新华书店

开 本：185mm×260mm 印 张：34.75 字 数：867 千字

版 次：2005 年 9 月第 1 版 2012 年 10 月第 2 版 印 次：2012 年 10 月第 1 次印刷

印 数：1~3000

定 价：59.00 元

产品编号：047283-01

前言

变结构控制出现于 20 世纪 60 年代,经历发展,已形成了一个相对独立的研究分支,成为自动控制系统的一种普遍的设计方法,适用于线性与非线性系统、连续与离散系统、确定性与不确定性系统、集中参数与分布参数系统、集中控制与分散控制等。这种控制方法通过控制量的切换使系统状态沿着滑模面滑动,使系统在受到参数摄动和外干扰的时候具有不变性,正是这种特性使得变结构控制方法受到各国学者的重视。

由于滑模变结构控制算法简单、鲁棒性好和可靠性高,被广泛应用于运动控制系统中,尤其适用于可建立精确数学模型的确定性控制系统。

有关滑模变结构控制理论及其工程应用,近年来已有大量的论文发表。作者多年来一直从事控制理论及应用方面的研究和教学工作,为了促进变结构控制和自动化技术的进步,反映滑模变结构控制设计与应用中的最新研究成果,并使广大工程技术人员能了解、掌握和应用这一领域的最新技术,学会用 MATLAB 语言进行滑模变结构控制器的设计,作者编写了这本书,以抛砖引玉,供广大读者学习参考。

本书是在总结作者多年研究成果的基础上,进一步理论化、系统化、规范化、实用化而成的,其特点是:

(1) 滑模变结构控制算法取材新颖,内容先进,重点置于学科交叉部分的前沿研究和介绍一些有潜力的新思想、新方法和新技术,取材着重于基本概念、基本理论和基本方法。

(2) 针对每种滑模控制算法给出了完整的 MATLAB 仿真程序,并给出了程序的说明和仿真结果,具有很强的可读性。

(3) 着重从应用角度出发,突出理论联系实际,面向广大工程技术人员,具有很强的工程实用性。书中有大量应用实例及其结果分析,为读者提供了有益的借鉴。

(4) 所给出的各种滑模变结构控制算法完整,程序设计结构设计力求简单明了,便于读者自学和二次开发。

本书共 11 章。第 1 章为绪论,介绍了滑模变结构控制的基本原理及在理论和应用方面的发展状况,第 2 章介绍了滑模控制的基本设计方法,第 3 章介绍了几种典型的滑模控制设计方法,第 4 章介绍了自适应鲁棒滑模控制的设计和分析方法,第 5 章介绍了欠驱动系统的滑模控制设计与分析方法,第 6 章介绍了反演及动态面滑模控制的设计和分析方法,第 7 章介绍了基于滤波器及观测器的滑模控制设计和分析方法,第 8 章介绍了模糊滑模控制的设计方法,包括基本的模糊滑模控制、基于模糊自适应调节的滑模控制和模糊自适应滑模控制的设计,第 9 章介绍了神经网络自适应滑模控制的设计和分析方法,第 10 章介绍了离散滑模控制的设计和分析方法,第 11 章介绍了机械手滑模控制的设计和分析方法。

本书是基于 MATLAB 的 R2011a 环境下开发的,各个章节的内容具有很强的独立性,读者可以结合自己的方向深入地进行研究。

作者在研究过程中得到北京航空航天大学尔联洁教授的热情指导,在此表示感谢。在滑模控制的研究中,杨闳竣、贺庆、郭一、龚海生等研究生参与了部分算法的论证,在此表示感谢。

假如您对算法和仿真程序有疑问,请通过 E-mail 与作者联系, email 地址为 ljk@buaa.edu.cn。程序下载网址为 <http://ljk.buaa.edu.cn> 或 <http://si.buaa.edu.cn>。由于作者水平有限,书中难免存在一些不足和错误之处,欢迎广大读者批评指正。

刘金琨

于北京航空航天大学

目录

| | |
|--------------------------|-----------|
| 第 1 章 绪论 | 1 |
| 1.1 滑模变结构控制简介 | 1 |
| 1.2 变结构控制发展历史 | 1 |
| 1.3 滑模变结构控制基本原理 | 2 |
| 1.4 滑模面的参数设计 | 4 |
| 1.5 滑模变结构控制理论研究方向 | 4 |
| 1.5.1 滑模变结构控制系统的抖振问题 | 4 |
| 1.5.2 离散系统滑模变结构控制 | 10 |
| 1.5.3 自适应滑模变结构控制 | 10 |
| 1.5.4 不匹配不确定性系统的滑模变结构控制 | 11 |
| 1.5.5 针对时滞系统的滑模变结构控制 | 11 |
| 1.5.6 非线性系统的滑模变结构控制 | 12 |
| 1.5.7 Terminal 滑模变结构控制 | 12 |
| 1.5.8 全鲁棒(Global)滑模变结构控制 | 13 |
| 1.5.9 滑模观测器的研究 | 13 |
| 1.5.10 神经滑模变结构控制 | 14 |
| 1.5.11 模糊滑模变结构控制 | 14 |
| 1.5.12 积分滑模变结构控制 | 15 |
| 1.6 滑模变结构控制应用 | 15 |
| 1.6.1 在电机中的应用 | 15 |
| 1.6.2 在机器人控制中的应用 | 15 |
| 1.6.3 在飞行器控制中的应用 | 15 |
| 1.6.4 在倒立摆控制中的应用 | 16 |
| 1.6.5 在伺服系统中的应用 | 16 |
| 1.7 滑模变结构控制相关研究著作 | 16 |
| 参考文献 | 17 |
| 第 2 章 滑模控制基本方法 | 25 |
| 2.1 滑模面设计及应用实例 | 25 |
| 2.1.1 滑模面的参数设计 | 25 |
| 2.1.2 一个简单的滑模控制实例 | 25 |
| 2.1.3 仿真实例 | 26 |
| 2.2 基于趋近律的滑模控制 | 29 |

目录

| | |
|---------------------------|-----------|
| 2.2.1 几种典型的趋近律 | 30 |
| 2.2.2 控制器设计 | 30 |
| 2.2.3 仿真实例 | 31 |
| 2.3 基于趋近律的滑模鲁棒控制 | 34 |
| 2.3.1 系统描述 | 34 |
| 2.3.2 仿真实例 | 35 |
| 2.4 基于上界的滑模控制 | 38 |
| 2.4.1 系统描述 | 38 |
| 2.4.2 控制器设计 | 39 |
| 2.4.3 仿真实例 | 39 |
| 2.5 基于准滑动模态的滑模控制 | 43 |
| 2.5.1 准滑动模态 | 43 |
| 2.5.2 仿真实例 | 44 |
| 2.6 等效滑模控制 | 50 |
| 2.6.1 系统描述 | 50 |
| 2.6.2 等效控制 | 50 |
| 2.6.3 滑模控制 | 51 |
| 2.6.4 仿真实例 | 51 |
| 2.7 滑模控制的数字化仿真 | 54 |
| 2.7.1 基本原理 | 54 |
| 2.7.2 仿真实例 | 55 |
| 第3章 几种典型滑模控制 | 58 |
| 3.1 基于名义模型的滑模控制 | 58 |
| 3.1.1 系统描述 | 58 |
| 3.1.2 控制系统结构 | 58 |
| 3.1.3 针对名义模型的控制 | 59 |
| 3.1.4 滑模控制器的设计 | 59 |
| 3.1.5 仿真实例 | 60 |
| 3.2 全局滑模控制 | 66 |
| 3.2.1 系统描述 | 66 |
| 3.2.2 全局滑模函数的设计 | 66 |
| 3.2.3 滑模控制器的设计 | 66 |
| 3.2.4 仿真实例 | 67 |

目录

| | |
|-----------------------------|-----|
| 3.3 基于线性化反馈的滑模控制 | 71 |
| 3.3.1 线性化反馈控制 | 71 |
| 3.3.2 仿真实例 | 72 |
| 3.3.3 基于线性化反馈的滑模控制 | 75 |
| 3.3.4 仿真实例 | 76 |
| 3.4 输入输出反馈线性化控制 | 79 |
| 3.4.1 系统描述 | 79 |
| 3.4.2 控制器设计 | 79 |
| 3.4.3 仿真实例 | 80 |
| 3.5 基于输入输出反馈线性的滑模控制 | 83 |
| 3.5.1 系统描述 | 83 |
| 3.5.2 控制器设计 | 83 |
| 3.5.3 仿真实例 | 84 |
| 3.6 模型参考滑模控制 | 87 |
| 3.6.1 系统描述 | 87 |
| 3.6.2 滑模控制器设计 | 87 |
| 3.6.3 仿真实例 | 88 |
| 参考文献 | 92 |
| 第 4 章 自适应鲁棒滑模控制 | 93 |
| 4.1 自适应鲁棒滑模控制 | 93 |
| 4.1.1 问题的提出 | 93 |
| 4.1.2 自适应滑模控制律的设计 | 93 |
| 4.1.3 仿真实例 | 94 |
| 4.2 无需物理参数的倒立摆自适应滑模控制 | 100 |
| 4.2.1 系统描述 | 100 |
| 4.2.2 控制律设计 | 101 |
| 4.2.3 仿真实例 | 103 |
| 4.3 基于 HJI 理论的滑模鲁棒控制 | 108 |
| 4.3.1 基本原理 | 108 |
| 4.3.2 控制器设计与分析 | 108 |
| 4.3.3 仿真实例 | 110 |
| 4.4 控制输入受限条件下的滑模控制 | 114 |
| 4.4.1 基本原理 | 114 |

目录

| | |
|-----------------------------------|-----|
| 4.4.2 控制器设计与分析 | 115 |
| 4.4.3 仿真实例 | 116 |
| 4.5 基于 RBF 网络补偿的控制输入受限滑模控制 | 120 |
| 4.5.1 系统描述 | 120 |
| 4.5.2 基于 RBF 网络控制受限逼近的滑模控制 | 120 |
| 4.5.3 仿真实例 | 121 |
| 参考文献 | 127 |
| | |
| 第 5 章 欠驱动系统滑模控制 | 128 |
| 5.1 LMI 及其 MATLAB 求解 | 128 |
| 5.2 基于 LMI 的欠驱动倒立摆系统滑模控制 | 129 |
| 5.2.1 系统描述 | 129 |
| 5.2.2 基于等效的滑模控制 | 130 |
| 5.2.3 基于辅助反馈的滑模控制分析 | 130 |
| 5.2.4 仿真实例 | 131 |
| 5.3 一类欠驱动系统的滑模控制 | 138 |
| 5.3.1 系统描述 | 139 |
| 5.3.2 滑模控制律的设计 | 139 |
| 5.3.3 稳定性及收敛性分析 | 140 |
| 5.3.4 位置跟踪 | 141 |
| 5.3.5 仿真实例 | 142 |
| 5.4 VTOL 飞行器滑模控制 | 154 |
| 5.4.1 系统描述 | 154 |
| 5.4.2 模型解耦 | 154 |
| 5.4.3 控制律设计 | 157 |
| 5.4.4 仿真实例 | 159 |
| 5.5 基于 Hurwitz 稳定的小车倒立摆滑模控制 | 166 |
| 5.5.1 系统描述 | 166 |
| 5.5.2 滑模控制律设计 | 166 |
| 5.5.3 Hurwitz 稳定性分析 | 167 |
| 5.5.4 仿真实例 | 170 |
| 5.6 柔性机械手观测器设计及分析 | 174 |
| 5.6.1 问题描述 | 174 |
| 5.6.2 观测器设计 | 174 |

目录

| | |
|------------------------------------|------------|
| 5.6.3 观测器分析 | 175 |
| 5.6.4 仿真结果 | 176 |
| 5.7 基于观测器的柔性关节机械手滑模控制 | 180 |
| 5.7.1 观测器的设计 | 180 |
| 5.7.2 控制器设计与分析 | 181 |
| 5.7.3 仿真实例 | 183 |
| 5.8 基于高增益观测器分离定理的滑模控制 | 188 |
| 5.8.1 高增益观测器分离定理 | 188 |
| 5.8.2 基于高增益观测器的倒立摆控制 | 188 |
| 5.8.3 闭环系统分析 | 190 |
| 5.8.4 仿真实例 | 191 |
| 5.9 基于欠驱动系统解耦算法的滑模控制 | 196 |
| 5.9.1 欠驱动系统解耦算法 | 196 |
| 5.9.2 倒立摆动力学系统的解耦 | 197 |
| 5.9.3 滑模控制器的设计 | 199 |
| 5.9.4 滑模参数 C 的设计 | 199 |
| 5.9.5 仿真实例 | 200 |
| 参考文献 | 204 |
| 第 6 章 反演及动态面滑模控制 | 206 |
| 6.1 简单反演滑模控制 | 206 |
| 6.1.1 基本原理 | 206 |
| 6.1.2 滑模反演控制器的设计 | 207 |
| 6.1.3 仿真实例 | 207 |
| 6.2 鲁棒反演滑模控制 | 211 |
| 6.2.1 系统描述 | 211 |
| 6.2.2 backstepping 滑模控制器的设计 | 211 |
| 6.2.3 仿真实例 | 212 |
| 6.3 自适应反演滑模控制 | 216 |
| 6.3.1 控制律的设计 | 216 |
| 6.3.2 仿真实例 | 217 |
| 6.4 柔性机械手的反演滑模控制 | 220 |
| 6.4.1 系统描述 | 220 |
| 6.4.2 反演滑模控制器的设计 | 221 |

目录

| | |
|-----------------------------------|------------|
| 6.4.3 仿真实例 | 224 |
| 6.5 简单动态面滑模控制 | 229 |
| 6.5.1 系统描述 | 229 |
| 6.5.2 动态面控制器的设计 | 230 |
| 6.5.3 动态面控制器的分析 | 231 |
| 6.5.4 动态面滑模控制器的设计 | 232 |
| 6.5.5 仿真实例 | 232 |
| 6.6 柔性机械手动态面滑模控制 | 243 |
| 6.6.1 系统描述 | 243 |
| 6.6.2 控制律设计 | 244 |
| 6.6.3 稳定性分析 | 245 |
| 6.6.4 仿真实例 | 248 |
| 参考文献 | 257 |
| | |
| 第 7 章 基于滤波器及观测器的滑模控制 | 258 |
| 7.1 基于低通滤波器的滑模控制 | 258 |
| 7.1.1 系统描述 | 258 |
| 7.1.2 滑膜控制器设计 | 258 |
| 7.1.3 仿真实例 | 259 |
| 7.2 基于 Kalman 滤波器的滑模控制 | 262 |
| 7.2.1 系统描述 | 262 |
| 7.2.2 Kalman 滤波器原理 | 263 |
| 7.2.3 仿真实例 | 263 |
| 7.3 基于慢时变干扰观测器的连续滑模控制 | 266 |
| 7.3.1 系统描述 | 266 |
| 7.3.2 观测器设计 | 267 |
| 7.3.3 仿真实例 | 267 |
| 7.3.4 基于慢时变干扰观测器的连续滑模控制设计 | 270 |
| 7.3.5 仿真实例 | 271 |
| 7.4 基于高增益观测器的滑模控制 | 275 |
| 7.4.1 高增益观测器机理分析 | 275 |
| 7.4.2 基于高增益观测器的滑模控制设计 | 278 |
| 7.4.3 仿真实例 | 279 |
| 7.5 基于扩张观测器的滑模控制 | 285 |

目录

| | |
|----------------------------|------------|
| 7.5.1 扩张观测器的设计 | 286 |
| 7.5.2 扩张观测器的分析 | 286 |
| 7.5.3 仿真实例 | 288 |
| 7.5.4 基于扩张观测器的滑模控制设计 | 293 |
| 7.5.5 仿真实例 | 293 |
| 7.6 基于微分器的滑模控制 | 297 |
| 7.6.1 系统描述 | 298 |
| 7.6.2 传统滑模控制器的设计 | 298 |
| 7.6.3 微分器设计 | 298 |
| 7.6.4 基于微分器的滑模控制设计 | 299 |
| 7.6.5 仿真实例 | 300 |
| 7.7 基于输出延时观测器的滑模控制 | 305 |
| 7.7.1 系统描述 | 305 |
| 7.7.2 输出延时观测器的设计 | 305 |
| 7.7.3 滑模控制器的设计与分析 | 306 |
| 7.7.4 仿真实例 | 306 |
| 7.8 基于谐振抑制的滑模控制 | 315 |
| 7.8.1 谐振抑制滤波器设计 | 316 |
| 7.8.2 系统描述 | 316 |
| 7.8.3 基于名义模型的滑模控制 | 318 |
| 7.8.4 仿真分析 | 319 |
| 参考文献 | 322 |
| 第8章 模糊滑模控制 | 324 |
| 8.1 基于模糊切换增益调节的滑模控制 | 324 |
| 8.1.1 系统描述 | 324 |
| 8.1.2 滑模控制器设计 | 324 |
| 8.1.3 模糊规则设计 | 325 |
| 8.1.4 仿真实例 | 326 |
| 8.2 基于等效控制的模糊滑模控制 | 333 |
| 8.2.1 系统描述 | 333 |
| 8.2.2 模糊滑模控制律的设计 | 333 |
| 8.2.3 仿真实例 | 333 |
| 8.3 一种简单的模糊自适应滑模控制 | 339 |
| 8.3.1 问题描述 | 339 |

目录

| | |
|--------------------------------------|------------|
| 8.3.2 模糊逼近原理 | 340 |
| 8.3.3 控制算法设计与分析 | 341 |
| 8.3.4 仿真实例 | 342 |
| 8.4 基于线性化反馈的自适应模糊滑模控制 | 347 |
| 8.4.1 线性化反馈方法 | 347 |
| 8.4.2 滑模控制器设计 | 347 |
| 8.4.3 自适应模糊滑模控制器设计 | 348 |
| 8.4.4 仿真实例 | 350 |
| 8.5 一种简单的切换模糊化自适应滑模控制 | 357 |
| 8.5.1 系统描述 | 357 |
| 8.5.2 自适应模糊滑模控制器设计 | 357 |
| 8.5.3 仿真实例 | 359 |
| 8.6 一种复杂的切换模糊化自适应滑模控制 | 364 |
| 8.6.1 系统描述 | 364 |
| 8.6.2 自适应模糊滑模控制器设计 | 364 |
| 8.6.3 仿真实例 | 366 |
| 8.7 具有积分滑模面的模糊滑模控制 | 373 |
| 8.7.1 系统描述 | 373 |
| 8.7.2 控制器的设计 | 373 |
| 8.7.3 仿真实例 | 374 |
| 8.8 控制输入模糊化的自适应滑模控制 | 379 |
| 8.8.1 系统描述 | 379 |
| 8.8.2 控制器的设计 | 379 |
| 8.8.3 自适应控制算法设计 | 380 |
| 8.8.4 仿真实例 | 381 |
| 8.9 基于模糊补偿的机械手自适应模糊滑模控制 | 387 |
| 8.9.1 系统描述 | 387 |
| 8.9.2 基于模糊补偿的滑模控制 | 388 |
| 8.9.3 只对摩擦进行模糊补偿的滑模控制 | 389 |
| 8.9.4 仿真实例 | 390 |
| 参考文献 | 397 |
| 第 9 章 神经网络滑模控制 | 399 |
| 9.1 一种简单的 RBF 网络自适应滑模控制 | 399 |

目录

| | |
|---|-----|
| 9.1.1 问题描述 | 399 |
| 9.1.2 RBF 网络原理 | 399 |
| 9.1.3 控制算法设计与分析 | 400 |
| 9.1.4 仿真实例 | 400 |
| 9.2 RBF 网络自适应鲁棒滑模控制 | 404 |
| 9.2.1 问题描述 | 404 |
| 9.2.2 基于 RBF 网络逼近 $f(\cdot)$ 的滑模控制 | 404 |
| 9.2.3 仿真实例 | 405 |
| 9.3 一种复杂的 RBF 网络自适应鲁棒滑模控制 | 410 |
| 9.3.1 问题描述 | 410 |
| 9.3.2 基于 RBF 网络逼近 $f(\cdot)$ 和 $g(\cdot)$ 的滑模控制 | 410 |
| 9.3.3 仿真实例 | 412 |
| 9.4 基于模型逼近的机械手 RBF 网络自适应滑模控制 | 417 |
| 9.4.1 问题描述 | 417 |
| 9.4.2 基于 RBF 神经网络逼近的滑模控制 | 418 |
| 9.4.3 稳定性及收敛性分析 | 418 |
| 9.4.4 仿真实例 | 420 |
| 9.5 基于神经网络的直接自适应滑模控制 | 429 |
| 9.5.1 系统描述 | 429 |
| 9.5.2 理想的滑模控制器及神经网络逼近 | 430 |
| 9.5.3 控制器设计及分析 | 431 |
| 9.5.4 仿真实例 | 432 |
| 9.6 基于神经网络最小参数学习法的自适应滑模控制 | 436 |
| 9.6.1 问题描述 | 436 |
| 9.6.2 基于 RBF 网络逼近的自适应控制 | 437 |
| 9.6.3 仿真实例 | 438 |
| 9.7 基于 RBF 网络最小参数学习法的机械手自适应控制 | 443 |
| 9.7.1 问题的提出 | 443 |
| 9.7.2 基于神经网络逼近的滑模控制 | 443 |
| 9.7.3 基于单参数的自适应滑模控制 | 444 |
| 9.7.4 仿真实例 | 446 |
| 参考文献 | 454 |

目录

| | |
|-------------------------|------------|
| 第 10 章 离散滑模控制 | 455 |
| 10.1 离散滑模控制描述 | 455 |
| 10.2 离散时间滑模控制的特性 | 455 |
| 10.2.1 准滑动模态 | 455 |
| 10.2.2 离散滑模的存在性和可达性 | 456 |
| 10.2.3 离散滑模控制的不变性 | 456 |
| 10.3 基于趋近律的离散滑模控制 | 457 |
| 10.3.1 离散趋近律的设计 | 457 |
| 10.3.2 离散控制律的设计 | 458 |
| 10.3.3 仿真实例 | 458 |
| 10.3.4 基于趋近律的离散滑模控制位置跟踪 | 460 |
| 10.3.5 仿真实例 | 461 |
| 10.4 基于等效控制的离散滑模控制 | 467 |
| 10.4.1 控制器设计 | 467 |
| 10.4.2 稳定性分析 | 467 |
| 10.4.3 仿真实例 | 469 |
| 10.5 基于变速趋近律的滑模控制 | 471 |
| 10.5.1 变速趋近律设计 | 471 |
| 10.5.2 基于变速趋近律的滑模控制设计 | 471 |
| 10.5.3 基于组合趋近律的控制 | 473 |
| 10.5.4 仿真实例 | 473 |
| 10.6 自适应离散滑模控制 | 477 |
| 10.6.1 离散指数趋近律控制的抖振分析 | 477 |
| 10.6.2 自适应滑模控制器的设计 | 478 |
| 10.6.3 仿真实例 | 479 |
| 10.7 离散滑模控制的设计与分析 | 482 |
| 10.7.1 系统描述 | 482 |
| 10.7.2 控制器设计与分析 | 482 |
| 10.7.3 仿真实例 | 484 |
| 10.8 基于干扰观测器的离散滑模控制 | 486 |
| 10.8.1 系统描述 | 486 |
| 10.8.2 基于干扰观测器的离散滑模控制 | 486 |
| 10.8.3 干扰观测器的收敛性分析 | 487 |
| 10.8.4 稳定性分析 | 488 |

目录

| | |
|--------------------------------------|------------|
| 10.8.5 仿真实例 | 489 |
| 参考文献 | 492 |
| 第 11 章 机械手滑模控制 | 493 |
| 11.1 机械手动力学模型及特性 | 493 |
| 11.2 基于名义模型的机械手滑模鲁棒控制——上界方法 | 494 |
| 11.2.1 系统描述 | 494 |
| 11.2.2 控制律设计 | 494 |
| 11.2.3 仿真实例 | 495 |
| 11.3 基于名义模型的机械手滑模鲁棒控制——PI 鲁棒方法 | 500 |
| 11.3.1 问题描述 | 500 |
| 11.3.2 控制器设计 | 500 |
| 11.3.3 稳定性分析 | 501 |
| 11.3.4 仿真实例——双关节机械手滑模控制 | 502 |
| 11.4 基于名义模型的机械手滑模控制——趋近律方法 | 508 |
| 11.4.1 设计原理 | 508 |
| 11.4.2 基于名义模型的机械手指数趋近律的设计 | 509 |
| 11.4.3 仿真实例 | 510 |
| 11.5 基于低通滤波器的机械手滑模控制 | 515 |
| 11.5.1 机械手动态方程 | 515 |
| 11.5.2 滑模控制器的设计 | 516 |
| 11.5.3 仿真实例——单关节机械手滑模控制 | 517 |
| 11.5.4 仿真实例——双关节机械手滑模控制 | 521 |
| 11.6 机械手自适应滑模控制 | 527 |
| 11.6.1 系统描述 | 527 |
| 11.6.2 自适应滑模控制器的设计 | 528 |
| 11.6.3 仿真实例 | 529 |
| 11.7 机械手滑模控制的收敛性分析 | 537 |
| 参考文献 | 539 |

1.1 滑模变结构控制简介

变结构控制(variable structure control, VSC)本质上是一类特殊的非线性控制,其非线性表现为控制的不连续性,这种控制策略与其他控制的不同之处在于系统的“结构”并不固定,而是可以在动态过程中,根据系统当前的状态(如偏差及其各阶导数等),有目的地不断变化,迫使系统按照预定“滑动模态”的状态轨迹运动,所以又常称变结构控制为滑动模态控制(sliding mode control, SMC),即滑模变结构控制。由于滑动模态可以进行设计且与对象参数及扰动无关,这就使得变结构控制具有快速响应、对参数变化及扰动不灵敏、无需系统在线辨识,物理实现简单等优点。该方法的缺点在于当状态轨迹到达滑模面后,难于严格地沿着滑面向着平衡点滑动,而是在滑模面两侧来回穿越,从而产生颤动。

变结构控制出现于 20 世纪 60 年代,经历多年的发展,已形成了一个相对独立的研究分支,成为自动控制系统的一种普遍的设计方法,适用于线性与非线性系统、连续与离散系统、确定性与不确定性系统、集中参数与分布参数系统、集中控制与分散控制等。并且在实际工程中逐渐得到推广应用,如电机与电力系统控制、机器人控制、飞机控制、卫星姿态控制等。这种控制方法通过控制量的切换使系统状态沿着滑模面滑动,使系统在受到参数摄动和外干扰的时候具有不变性,正是这种特性使得变结构控制方法受到各国学者的重视。

1.2 变结构控制发展历史

变结构控制的发展过程大致可分为 3 个阶段。

1. 1957—1962 年

此阶段为初级研究阶段。前苏联学者 Utkin 和 Emelyanov 提出了变结构控制的概念,基本研究对象为二阶线性系统。